



УДК 577.112.541.572.5

## ЧУВСТВИТЕЛЬНЫЙ НЕРАДИОАКТИВНЫЙ МЕТОД СКРИНИНГА СОЕДИНЕНИЙ, ВЗАИМОДЕЙСТВУЮЩИХ С НЕЙРОННЫМ $\alpha_7$ -ХОЛИНОРЕЦПТОРОМ

© 2003 г. А. С. Коротина, Е. В. Крюкова, Е. А. Азеева,  
А. Ф. Шевалье, Ю. Н. Уткин, В. И. Цетлин<sup>#</sup>

Институт биоорганической химии им. М.М. Шемякина и Ю.А. Овчинникова РАН, 117997 ГСП,  
Москва, В-437, ул. Миклухо-Маклая, 16/10

Поступила в редакцию 13.05.2002 г. Принята к печати 11.07.2002 г.

Предложен чувствительный нерадиоактивный метод обнаружения веществ, взаимодействующих с нейронным никотиновым холинорецептором (АХР)  $\alpha_7$ -типа с использованием биотинилированного  $\alpha$ -кобратоксина (Bt-СТХ). В основе метода лежит свойство *N*-концевого лигандсвязывающего экстрацеллюлярного фрагмента (ЛСЭФ)  $\alpha_7$ -АХР сохранять присущую целому рецептору способность взаимодействовать с  $\alpha$ -кобратоксином (СТХ). ЛСЭФ, полученный гетерологической экспрессией фрагмента гена  $\alpha_7$ -субъединицы АХР мозга крысы в клетках *E. coli*, сорбировали в лунках стандартного 96-луночного планшета и затем инкубировали с Bt-СТХ. Специфически связавшийся Bt-СТХ определяли колориметрически с использованием комплекса стрептавидин–пероксидаза. Способность других соединений к взаимодействию с  $\alpha_7$ -АХР определяли по степени ингибирования ими связывания Bt-СТХ с ЛСЭФ. В качестве модельных соединений использовали никотин, карбамоилхолин, *d*-тубокуарин, анабазин, а также конотоксин I $\text{mI}$  и нейротоксин II. Чувствительность предлагаемого метода сопоставима с таковой радиолигандного метода (до 10 пмоль).

**Ключевые слова:** биотинилированный кобратоксин; нейронный  $\alpha_7$ -никотиновый холинорецептор, твердофазный метод скрининга.

### ВВЕДЕНИЕ

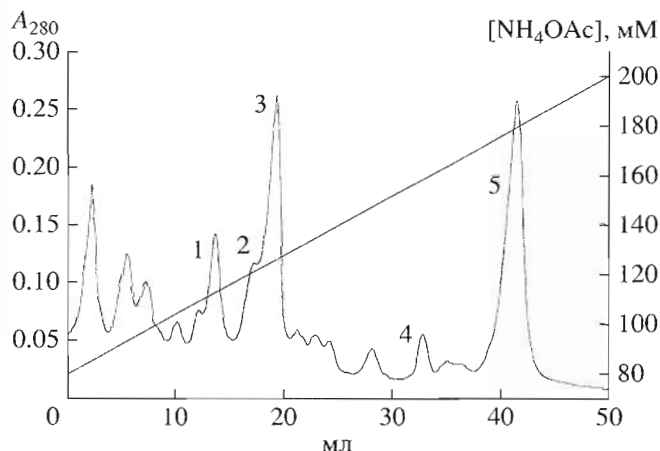
Фундаментальные исследования в области нейробиологии в последнее время позволили идентифицировать ряд белков, участвующих в развитии тех или иных патологических процессов. Так, было показано, что в развитие целого ряда патологий вовлечены нейронные никотиновые холинорецепторы (АХР) [1, 2]. Нейронные АХР являются лигандуправляемыми ионными каналами и представляют собой пентамерные мембранные белки, содержащие  $\alpha$ -субъединицы девяти типов ( $\alpha_2$ – $\alpha_{10}$ ) и  $\beta$ -субъединицы трех типов ( $\beta_2$ – $\beta_4$ ) [3]. Эти рецепторы могут существовать как в виде гетеромерных форм, состоящих из различных комбинаций  $\alpha$ - и  $\beta$ -субъединиц (например,  $\alpha_4\beta_2$  или  $\alpha_3\beta_4$ ), так и в виде гомомеров, включающих лишь пять  $\alpha$ -субъединиц одного типа (например,  $\alpha_7$ -АХР [4]). Имеющиеся данные свидетельствуют о том, что АХР  $\alpha_7$ -типа могут быть вовлечены в развитие некоторых нейродегенеративных (болезнь

Альцгеймера [5, 6]) или раковых (мелкоклеточная карцинома легких [7]) заболеваний. Блокирование  $\alpha_7$ -АХР  $\alpha$ -бунгаротоксином [8, 9] или конотоксином I $\text{mI}$  [10] приводит к уменьшению пролиферации клеток мелкоклеточной карциномы. Однако эти нейротоксины высокотоксичны и взаимодействуют также с АХР других типов. Следовательно, требуется поиск новых соединений, обладающих высокой селективностью по отношению к АХР  $\alpha_7$ -типа и не столь токсичных, как  $\alpha$ -бунгаротоксин. Поиск таких соединений требует разработки эффективного метода скрининга соединений, способных взаимодействовать с  $\alpha_7$ -рецепторами.

Наиболее распространенный метод изучения взаимодействия различных соединений с рецепторами – это радиолигандный анализ. Наряду с несомненными достоинствами (высокая чувствительность, надежность и т.п.) этот метод имеет и ряд недостатков, самый существенный из которых – необходимость работы с радиоактивными веществами. В то же время в ряде случаев с использованием системы биотин–авидин или биотин–стрептавидин для мечения биомолекул удается достичь уровня чувствительности радиоизотопных методов [11].

Сокращения:  $\alpha$ -Btg –  $\alpha$ -бунгаротоксин; СТХ и Bt-СТХ –  $\alpha$ -кобратоксин и его биотинилированное производное; ЛСЭФ – лигандсвязывающий экстрацеллюлярный фрагмент; АХР – никотиновый холинорецептор; BSA – бычий сывороточный альбумин.

<sup>#</sup> Автор для переписки (тел.: (095) 335-57-33; факс: (095) 335-57-33; эл. почта: vits@ibch.ru).



**Рис. 1.** Разделение биотинилированных производных CTX ионообменной хроматографией на колонке TSK-3SW ( $7.5 \times 150$  мм) в градиенте молярности ацетата аммония. Скорость потока 1 мл/мин. Фракции 1–4 – монобиотинилированные производные CTX, фракция 5 – исходный CTX.

Ранее эти системы были использованы для определения мембранных рецепторов вещества Р [12], антител к ацетилхолиновому рецептору [13], а также в жидкокомпозитном иммунном анализе [14] и для локализации вазопрессиновых рецепторов на поверхности раковых клеток [15]. В настоящей работе предлагается использовать твердофазный метод анализа, основанный на связывании *N*-концевого лигандсвязывающего домена  $\alpha$ 7-АХР мозга крысы (ЛСЭФ) с Bt-CTX, для скрининга соединений, взаимодействующих с этим рецептором.

## РЕЗУЛЬТАТЫ И ОБСУЖДЕНИЕ

Использование природного  $\alpha$ 7-АХР для создания высокоэффективного метода скрининга взаимодействующих с ним соединений практически невозможно вследствие его крайне низкого содержания в тканях. Гетерологическая экспрессия [16] полноразмерного рецептора в препаративных количествах до сих пор остается недостижимой задачей. Однако показано, что *N*-концевой экстрацеллюлярный домен  $\alpha$ 7-субъединицы (фрагмент 1–209) в значительной степени сохраняет лигандсвязывающие свойства полноразмерного рецептора [17–19]. Так, ЛСЭФ связывает  $\alpha$ -нейротоксины длинного типа ( $\alpha$ -бунгартоксин,  $\alpha$ -кобратоксин), а также  $\alpha$ -конотоксин ImI, являющийся специфическим маркером  $\alpha$ 7-АХР [20]. На основании этих данных мы решили использовать для создания метода скрининга соединений, взаимодействующих с  $\alpha$ 7-АХР, экстрацеллюлярный домен рецептора.

Мы применяли ЛСЭФ, полученный гетерологической экспрессией соответствующего фрагмента гена  $\alpha$ 7-субъединицы АХР мозга крысы в

клетках *E. coli*.\* Домен был выделен из тел включения и ренатурирован в условиях, подобных тем, которые ранее использовались для получения аналогичного домена  $\alpha$ -субъединицы АХР *Torpedo californica* [21]. Выделенный нами домен связывал радиоактивный [ $^{125}$ I]- $\alpha$ -бунгартоксин с  $K_d$  200 нМ. Эта величина, хотя и выше таковой для природного рецептора ( $K_d \sim 1$ –5 нМ [22, 23]), тем не менее позволяет надежно обнаруживать связывание токсина и сопоставима с величинами, полученными другими авторами ( $K_d$  2.5 мкМ) [18], а также в нашей лаборатории [24] для различных форм ЛСЭФ\*.

В качестве меченого лиганда мы использовали биотинилированный  $\alpha$ -кобратоксин (Bt-CTX) с последующей колориметрической детекцией специфически связавшегося токсина с помощью авидин-пероксидазного конъюгата. Биотинилированные производные  $\alpha$ -кобратоксина были использованы ранее для исследования АХР *Torpedo* [25]. При этом оказалось, что эффективность взаимодействия некоторых производных (в частности, биотинилированного по Lys23 аналого) с АХР уменьшалась при образовании тройного комплекса с авидином. Чтобы исключить возможность дестабилизации Bt-CTX-доменного комплекса при связывании авидина с биотинильным остатком, мы увеличили расстояние между токсином и остатком биотина путем использования производного биотина, содержащего два остатка  $\epsilon$ -аминокапроновой кислоты.

Продукты, полученные в результате реакции CTX с *N*-оксисукцинимидным эфиrom 6-(6-биотинамиドокапроил)аминокапроновой кислоты, разделяли методом высокоэффективной ионообменной хроматографии (рис. 1). По данным MALDI-масс-спектрометрии фракции 1–4 соответствуют монобиотинилированным производным ( $[M+H]^+$  8281 Да), а фракция 5 – исходному CTX ( $[M+H]^+$  7831 Да). Фракции, выходящие в начале градиента (до фр. 1), соответствуют производным, содержащим две и более меток. Фракции, выходящие между 20 и 30 мл, по данным MALDI-масс-спектрометрии, не являются производными CTX. Как видно из рис. 1, реакция приводит к преимущественной модификации одной из шести имеющихся в CTX [26] аминогрупп с образованием производного, элюирующегося как фракция 3. Поскольку это производное получается с максимальным выходом, оно и было использовано в дальнейшей работе.

Для того чтобы установить не уменьшает ли модификация CTX его сродство к АХР, мы проверили способность биотинилированного производного конкурировать с радиоактивным токсином за связывание с рецептором *Torpedo* (рис. 2).

\* Будет опубликовано отдельно.

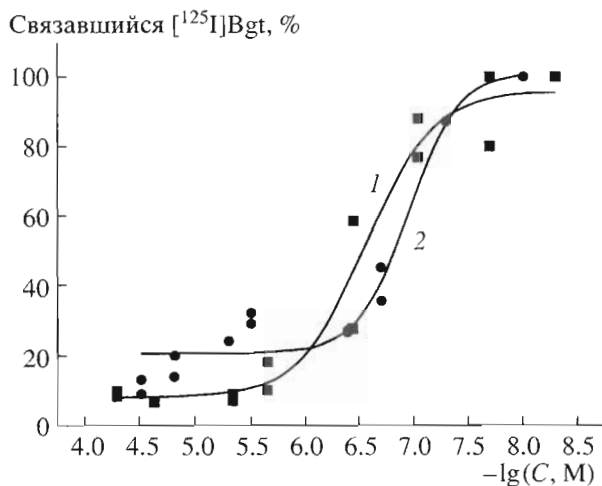


Рис. 2. Ингибиование связывания радиоактивного  $[^{125}\text{I}]$ Bgt с мембранными электрического органа *Torpedo* природным CTX (2) и Bt-CTX (1). С – концентрация CTX и Bt-CTX, М. На оси ординат указано количество связавшегося  $[^{125}\text{I}]$ Bgt в процентах от максимального связывания.

Оказалось, что Bt-CTX очень близок к нативному токсину по способности взаимодействовать с AXP ( $\text{IC}_{50}$  Bt-CTX  $2.57 \times 10^{-7}$  М;  $\text{IC}_{50}$  CTX  $1.12 \times 10^{-7}$  М) (рис. 2). Таким образом мы показали, что ЛСЭФ сохраняет способность связывать радиоактивный CTX, а Bt-CTX – способность связываться с рецептором *Torpedo*, и, следовательно, оба этих белка могут быть использованы для разработки нерадиоактивного метода анализа связывания.

Для твердофазного анализа взаимодействия ЛСЭФ с Bt-CTX использовали 96-луночные планшеты, применяемые для иммуноферментного анализа. Исследование условий сорбции домена на планшете показало, что оптимальное время сорбции составляет 15–17 ч при 4°C, а оптимальное количество белка – 10 мкг в лунку. Через 15–17 ч инкубации раствор несорбированного домена удаляли, блокировали остаточную сорбцию 2% раствором BSA и добавляли Bt-CTX в концентрации 30 нМ–1 мкМ. При этом, чтобы уменьшить неспецифическое связывание, в раствор добавляли BSA до концентрации 0.15%. Через 1.5 ч раствор Bt-CTX удаляли и проводили детекцию связавшегося токсина по стандартной методике [27] с использованием конъюгата стрептавидин-пероксидаза и *o*-фенилендиамина в качестве субстрата. Для определения неспецифического связывания в отдельных опытах перед добавлением Bt-CTX планшеты с нанесенным доменом в течение 30 мин инкубировали со 100-кратным избыtkом нативного CTX.

Взаимодействие сорбированного домена с Bt-CTX в увеличивающихся концентрациях показало, что Bt-CTX специфически и с насыщением связывается с ЛСЭФ (рис. 3). Константа диссоци-

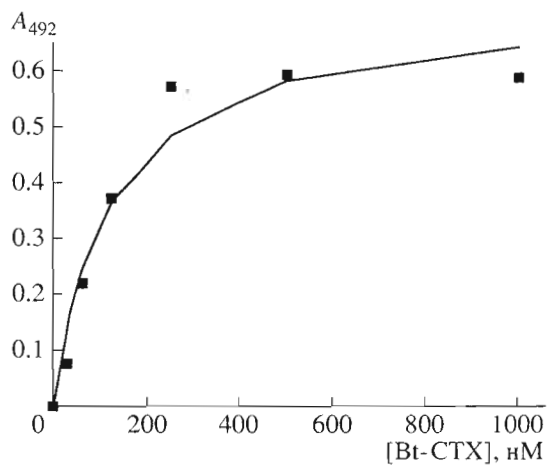
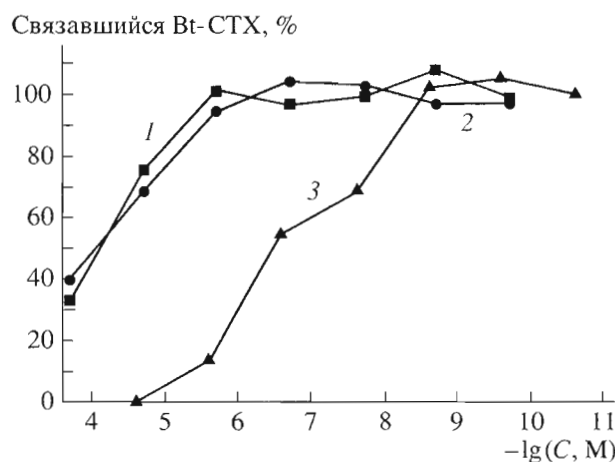


Рис. 3. Специфическое связывание Bt-CTX с ЛСЭФ, сорбированным в лунках 96-луночного планшета. По оси абсцисс отложена концентрация Bt-CTX в лунке, по оси ординат – результат анализа связавшегося Bt-CTX с использованием системы стрептавидин–пероксидаза и *o*-фенилендиамина в качестве субстрата [27].

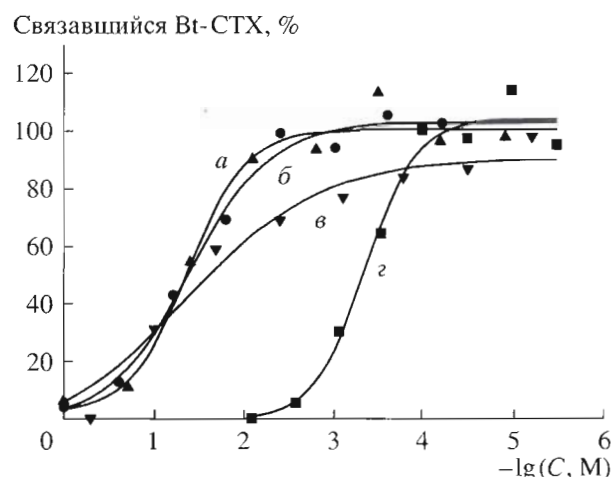
ации, определенная с использованием Bt-CTX, составляет 120 нМ (рис. 3); величина, определенная для  $[^{125}\text{I}]$ CTX радиолигандным методом в растворе – 200 нМ.

На следующем этапе мы проверяли, насколько фармакологическая специфичность домена соответствует таковой природного  $\alpha$ 7-AXP. Ранее было показано, что  $\alpha$ 7-AXP эффективно связывает  $\alpha$ -нейротоксины длинного типа, в то время как  $\alpha$ -нейротоксины короткого типа связываются на несколько порядков хуже [28]. В нашей системе также наблюдалась разница в несколько порядков между токсином длинного типа (CTX) и короткого типа (нейротоксином II *Naja oxiana*) при конкуренции с Bt-CTX (рис. 4). Величина  $\text{IC}_{50}$  для CTX составила 0.27 мкМ, а для нейротоксина II – более 20 мкМ. В ряде работ (см., например, [20])  $\alpha$ -конотоксин ImI использовался в качестве специфического маркера  $\alpha$ 7-AXP. В нашей системе ImI, хотя и с низким сродством, взаимодействовал с ЛСЭФ (рис. 4).

Нами была также исследована способность взаимодействовать с сорбированным доменом таких низкомолекулярных лигандов, как никотин, карбамоилхолин, анабазеин и *d*-тубокуарин (рис. 5). Ранее было показано [29], что фармакологический профиль  $\alpha$ 7-AXP сильно зависит от того, из какого вида животного выделен исследуемый рецептор. Для цельного рецептора типа  $\alpha$ 7 в клетках линии крысины феохромоцитомы PC12 были определены следующие значения  $\text{IC}_{50}$  для различных лигандов: карбамоилхолин –  $1.2 \times 10^{-4}$  М, никотин –  $5.6 \times 10^{-5}$  М, тубокуарин –  $4.8 \times 10^{-6}$  М [30]. В нашей системе *d*-тубокуарин оказался



**Рис. 4.** Ингибиция связывания Bt-CTX с сорбированным ЛСЭФ  $\alpha$ -конотоксином Iml (1), нейротоксином II (2) и СТХ (3).  $C$  – концентрация токсинов в лунке, М. На оси ординат указано количество связавшегося Bt-CTX в процентах от максимального связывания.



**Рис. 5.** Ингибиция связывания Bt-CTX с сорбированным ЛСЭФ низкомолекулярными лигандами никотином (а), карбамоилхолином (б), анабазеином (в) и тубокурарином (г).  $C$  – концентрация низкомолекулярных лигандов в лунке, М. На оси ординат указано количество связавшегося Bt-CTX в процентах от максимального связывания.

также существенно более активным, чем карбамоилхолин и никотин (таблица).

Таким образом, фармакологический профиль сорбированного домена соответствует профилю природного  $\alpha$ 7-АХР, хотя взаимодействие со всеми лигандами происходит с меньшей эффективностью. Константы ингибиции связывания Bt-CTX, определенные предложенным нами методом, находятся в хорошем соответствии с таковыми, определенными радиолигандным методом (таблица). Чувствительность метода также сопоставима с таковой радиолигандного метода. Так, при использовании в предлагаемом методе таких же количеств ЛСЭФ, как и в радиолигандном методе (10 пмоль), получены достоверные результаты. Предложенный метод может быть легко ав-

томатизирован и позволяет избежать работы с радиоактивными соединениями.

## ЭКСПЕРИМЕНТАЛЬНАЯ ЧАСТЬ

В работе использовали *N*-оксисукцинидный эфир 6-(6-биотинамидокапроил)аминокапроновой кислоты, анабазеин, никотин, Трис, BSA и *o*-фенилendiамин фирмы Sigma, DMSO (Merck), Тритон X-100 (Serva), ионообменные фильтры DE-81 (Whatman), 96-луночные планшеты (EIA/RIA, flat bottom, high binding, Costar), карбамоилхолин и *d*-тубокурарин (Fluka), стрептавидин-пероксидаза (Roche Applied Science),  $\alpha$ -кобра-токсин *Naja kaouthia* и нейротоксин II *Naja oxiana* получены как описано в работе [18]. Радиоактивный [ $^{125}$ I] $\alpha$ -Bgt ( $9 \times 10^4$  имп./пмоль) приготовлен по методике [31]. Мембранные электрические органы *T. californica* любезно предоставлены проф. Ф. Хухо (Свободный университет Берлина). ЛСЭФ получали гетерологической экспрессией фрагмента гена, соответствующего *N*-концевому домену  $\alpha$ 7-субъединицы АХР мозга крысы, в клетках *E. coli* в условиях, подобных тем, которые ранее использовались для получения аналогичного домена  $\alpha$ -субъединицы АХР *T. californica* [21].

**Биотинилированный СТХ (Bt-CTX).** К 8.2 мг (1.05 мкмоль) СТХ в 2 мл натрий-фосфатного буфера (рН 8.0) добавляли раствор 1.2 мг (2.1 мкмоль) *N*-оксисукцинидного эфира 6-(6-биотинамидокапроил)аминокапроновой кислоты в 200 мкл DMSO и перемешивали 16 ч при комнатной температуре. После обессоливания реакционной смеси на колонке (1.5 × 90 см) с

Конкурирующее вещество	$IC_{50}$ , мМ	
	Метод с использованием Bt-CTX	Радиолигандный метод
<i>d</i> -Тубокурарин	0.45	1.0
Карбамоилхолин	41.6	46
Никотин	42	120
Анабазеин	48	Не опр.

сефадексом G-15 в 0.1 М уксусной кислоте и лиофилизации биотинилированные производные СТХ разделяли на колонке TSK CM-3SW ( $7.5 \times 150$  мм) в градиенте концентрации ацетата аммония от 80 до 200 мМ за 50 мин (рис. 1). После лиофилизации для работы использовали фракцию 3.

**Взаимодействие Bt-CTX с доменом  $\alpha$ 7-AXP.** В лунки 96-луночного планшета вносили по 100 мкл раствора домена (0.1 мг/мл, 0.1 М  $\text{NaHCO}_3$ , pH 8.0) и инкубировали 15–17 ч при 4°C. Затем раствор домена удаляли, в лунки вносили по 200 мкл 2% раствора BSA в 50 мМ Трис-HCl (pH 8.0) и инкубировали 60 мин при комнатной температуре. Раствор BSA удаляли, в лунки вносили 50 мкл буфера (0.15% BSA, 50 мМ Трис-HCl, pH 8.0), затем 50 мкл раствора Bt-CTX (фракция 3, рис. 1; 0.15% BSA, 50 мМ Трис-HCl, pH 8.0) в возрастающей концентрации (30 нМ–1 мкМ) и инкубировали 1.5 ч при 37°C. Каждое измерение производили в двух повторах. Неспецифическое связывание определяли аналогично с той лишь разницей, что во все лунки перед добавлением Bt-CTX вместо буфера вносили раствор природного СТХ (100-кратный молярный избыток по отношению к Bt-CTX) и инкубировали 30 мин при 37°C. После инкубации с Bt-CTX раствор с несвязавшимся токсином удаляли, промывали лунки буфером (0.15% BSA, 50 мМ Трис-HCl, pH 8.0, 3 раза по 200 мкл) и вносили в каждую лунку по 100 мкл раствора стрептавидин-пероксидазы (0.2 мг/мл). Дальнейшую обработку проводили согласно методике [27] с использованием *o*-фенилендиамина в качестве субстрата.

**Радиолигандный анализ.** К 100 нМ раствору экстрацептильярного домена  $\alpha$ 7-AXP в 50 мМ Трис-HCl (pH 8.0) добавляли [ $^{125}\text{I}$ ] $\alpha$ -Bgt в концентрациях от 14 до 800 нМ (конечный объем инкубационной смеси 50 мкл) и инкубировали при комнатной температуре в течение 1 ч. Комплекс рецептор–токсин отделяли от несвязавшегося [ $^{125}\text{I}$ ] $\alpha$ -Bgt на фильтрах DE-81 и после однократной промывки 5 мл 50 мМ Трис-HCl с 0.1% Тритон X-100 определяли количество связавшегося радиоактивного [ $^{125}\text{I}$ ] $\alpha$ -Bgt на  $\gamma$ -счетчике. Неспецифическое связывание определяли в присутствии 100-кратного избытка немеченого СТХ, который инкубировали с доменом 30 мин перед добавлением [ $^{125}\text{I}$ ] $\alpha$ -Bgt.

В экспериментах по конкуренции 4 мкл суспензии мембран *T. californica* (содержание белка 1.1 мг/мл, 50 мМ Трис-HCl, pH 8.0) предварительно инкубировали с биотинилированным или небиотинилированным кобратоксином в возрастающей концентрации (50 нМ–30 мкМ) или низкомолекулярным лигандом (1 мкМ–1 М) в течение 1 ч, затем вносили [ $^{125}\text{I}$ ] $\alpha$ -Bgt (конечная концентрация 22 нМ, конечный объем инкубационной

смеси 50 мкл) и после часовой инкубации отделяли несвязавшийся [ $^{125}\text{I}$ ] $\alpha$ -Bgt как описано выше.

**Взаимодействие ЛСЭФ с низкомолекулярными лигандами.** Внесение домена в лунки проводили как описано выше для взаимодействия Bt-CTX с доменом. Затем для определения общего связывания в часть лунок добавляли 50 мкл буфера (0.15% BSA, 50 мМ Трис-HCl, pH 8.0), а для определения связывания ЛСЭФ с низкомолекулярными лигандами в другие лунки вносили исследуемое вещество: никотин (1 М–64 мкМ), карбамоилхолин (1 М–61 мкМ), анабазein (0.5 М–6.4 мкМ), *d*-тубокуарин (8 мМ–3.3 мкМ) и инкубировали 30 мин. После чего во все лунки добавляли раствор Bt-CTX и инкубировали еще 1.5 ч. Раствор лиганда и токсина удаляли, промывали лунки 0.15% BSA (3 раза по 200 мкл) и вносили в каждую лунку по 100 мкл раствора стрептавидин-пероксидазы (0.2 мг/мл). Дальнейшую обработку проводили согласно методике [27] с использованием *o*-фенилендиамина в качестве субстрата.

## СПИСОК ЛИТЕРАТУРЫ

1. Lindstrom J. // Mol. Neurobiol. 1997. V. 15. P. 193–222.
2. Jones S., Sudweeks S., Yake J.L. // Trends Neurosci. 1999. V. 22. P. 555–561.
3. Itier V., Bertrand D. // FEBS Lett. 2001. V. 504. P. 118–125.
4. Gerzanich V., Anand R., Lindstrom J. // Mol. Pharmacol. 1994. V. 45. P. 212–220.
5. Nordberg A. // Biol. Psychiatry. 2001. V. 49. P. 200–210.
6. Nakamura S., Takahashi T., Yamashita H., Kawakami H. // Alcohol. 2001. V. 24. P. 79–81.
7. Sciamanna M.A., Griesmann G.E., Williams C.L., Lennon V.A. // J. Neurochem. 1997. V. 69. P. 2302–2311.
8. Quik M., Chan J., Patric J. // Brain Res. 1994. V. 655. P. 161–167.
9. Codignola A., Tarroni P., Cattaneo M.G., Vicentini L.M., Clementi F., Sher E. // FEBS Lett. 1994. V. 342. P. 286–290.
10. Codignola A., McIntosh J.M., Cattaneo M.G., Vicentini L.M., Clementi F., Sher E. // Neurosci. Lett. 1996. V. 206. P. 53–56.
11. Wilcheck M., Bayer E.A. // Anal. Biochem. 1988. V. 171. P. 1–32.
12. Головнина Т.А., Кащеверов И.Е., Плаксин Д.Ю., Якунина Н.Б., Коваленко В.А., Уткин Ю.Н., Цемлин В.И. // Биоорган. химия. 1992. Т. 18. С. 932–941.
13. Quinn A., Harrison R., Jehanli A.M.T., Lunt G.G., Walch S. // J. Immunol. Methods. 1988. V. 107. P. 197–203.
14. Selo I., Negroni L., Creminon C., Grassi J., Wal J.M. // J. Immunol. Methods. 1996. V. 199. P. 127–138.
15. Howl J., Wang X., Kirk C.J., Wheatley M. // Eur. J. Biochem. 1993. V. 213. P. 711–719.
16. Aztiria E.M., Sogayar M.C., Barrantes F.J. // Neurochem. Res. 2000. V. 25. P. 171–180.

17. Wells G.B., Anand R., Wang F., Lindstrom J. // *J. Biol. Chem.* 1998. V. 273. P. 964–973.
18. Utkin Y.N., Kukhtina V.V., Kryukova E.V., Chioldini F., Bertrand D., Methfessel C., Tsetlin V.I. // *J. Biol. Chem.* 2001. V. 276. P. 15810–15815.
19. Fischer M., Corringer P.-J., Schott K., Bacher A., Changeux J.-P. // *Proc. Natl. Acad. Sci. USA.* 2001. V. 98. P. 3567–3570.
20. Johnson D.S., Martines J., Elgoyen A.B., Heinemann S.F., McIntosh J.M. // *Mol. Pharmacol.* 1995. V. 45. P. 194–199.
21. Alexeev T., Krivoshein A., Shevalier A., Kudelina I., Telyakova O., Vincent A., Utkin Y., Hucho F., Tsetlin V. // *Eur. J. Biochem.* 1999. V. 259. P. 310–319.
22. Couturier S., Bertrand D., Matter J.M., Hernandez M.C., Bertrand S., Millar N., Valera S., Barkas T., Ballivet M. // *Neuron.* 1990. V. 5. P. 847–856.
23. Gerzanich V., Anand R., Lindstrom J. // *Mol. Pharmacol.* 1994. V. 45. P. 212–220.
24. Tsetlin V.I., Dergousova N.I., Azeeva E.A., Kryukova E.V., Kudelina I.A., Shibanova E.D., Kasheverov I.E., Methfessel C. // *Eur. J. Biochem.* 2002. V. 269. P. 2801–2809.
25. Lobel P.N., Kao P., Bircen S., Karlin A. // *J. Biol. Chem.* 1985. V. 260. P. 10605–10612.
26. Karlsson E. // *Experientia.* 1973. V. 29. P. 1319–1327.
27. Baumgarten H. // *J. Immunol. Methods.* 1986. V. 94. P. 91–98.
28. Servent D., Winckler D., Hai-Yan Hu, Kessler P., Drevet P., Bertrand D., Menez A. // *J. Biol. Chem.* 1997. V. 272. P. 24279–24286.
29. Peng X., Katz M., Gerzanich V., Anand R., Lindstrom J. // *Mol. Pharmacol.* 1994. V. 45. P. 546–554.
30. Rangwala F., Drisdell R.C., Rakhilin S., Ko E., Atluri P., Harkins A.B., Fox A.P., Salman S.S., Green W.N. // *J. Neurosci.* 1997. V. 17. P. 8201–8212.
31. Клукас О., Пещенко И.А., Родионов И.Л., Телякова О.В., Уткин Ю.Н., Цетлин В.И. // Биоорганическая химия. 1995. Т. 21. С. 152–155.

## Sensitive Nonradioactive Screening for Compounds Interacting with Neuronal $\alpha 7$ Cholinoreceptor

**A. S. Korotina, E. V. Kryukova, E. A. Azeeva, A. F. Shevalier, Yu. N. Utkin, and V. I. Tsetlin<sup>#</sup>**

<sup>#</sup> Phone/fax: +7 (095) 335-5733; e-mail: vits@ibch.ru

Shemyakin-Ovchinnikov Institute of Bioorganic Chemistry, Russian Academy of Sciences,  
ul. Miklukho-Maklaya 16/10, GSP Moscow, 117997 Russia

A sensitive nonradioactive method for detection of substances interacting with the neuronal nicotinic acetylcholine  $\alpha 7$ -type receptor (AChR) was proposed. The method uses biotinylated  $\alpha$ -cobratoxin (Bt-CTX) and is based on the ability of the *N*-terminal ligand-binding extracellular domain (LBED) of AChR to interact with  $\alpha$ -cobratoxin (CTX) as does the whole receptor. LBED was produced by heterologic expression of a gene fragment of the  $\alpha 7$  subunit of AChR from the rat brain in *Escherichia coli* cells sorbed on wells of a 96-well plate and incubated with Bt-CTX. The specifically bound Bt-CTX was determined by staining with streptavidin-peroxidase complex. The ability of other compounds to interact with  $\alpha 7$ -AChR was checked according to the degree with which they inhibit Bt-CTX binding to LBED. Nicotine, carbamylcholine, *d*-tubocurarin, anabaseine, conotoxin ImI, and neurotoxin II were used as model compounds. The sensitivity of this method was comparable with that of the radioligand method (up to 10 pmol). The English version of the paper: *Russian Journal of Bioorganic Chemistry*, 2003, vol. 29, no. 4; see also <http://www.maik.ru>.

**Key words:** biotinylated  $\alpha$ -cobratoxin, neuronal  $\alpha 7$  nicotinic acetylcholine receptor, solid-phase screening method